

Réponses linéaires (suite)

Suite du § A

④ Fonctions de corrélation symétrique et canoniquea) Définition - Interprétation physique

- Dans l'état d'équilibre, la corrélation entre les fluctuations de A et B à 2 instants différents est décrite par la quantité $\text{Tr}\{\rho_{\text{eq}} A(0)B(t)\} = \langle A B(t) \rangle_{\text{eq}}$ (voir la discussion page I-3). Rappelons que A et B sont centraux. En fait, même si A et B sont hermitiques, $\langle A B(t) \rangle_{\text{eq}}$ n'est pas réel : $\langle A B(t) \rangle_{\text{eq}}^* = \langle B(t) A \rangle_{\text{eq}}$. On préfère donc caractériser la corrélation entre fluctuations de A et B par un nombre réel $S_{BA}(t)$ appelé "fonction de corrélation symétrique" :

$$\tilde{S}_{BA}(t) = \frac{1}{2} \langle A B(t) + B(t)A \rangle_{\text{eq}} = \frac{1}{2} \langle \{A, B(t)\}_+ \rangle_{\text{eq}} \quad (\text{VI-1})$$

$\langle X, Y \rangle_+ = XY + YX$ est l'anticommutateur de X et Y.

A la limite claire, les opérateurs deviennent des nombres qui commutent entre eux. Soient A et B les grandeurs claires correspondant à A et B

$$\text{Limite claire de } \tilde{S}_{BA}(t) = \overline{A(0)B(t)} \quad (\text{VI-2})$$

- les fonctions de réponse $\tilde{K}_{BA}(t)$ et spectrale $\tilde{E}_{BA}(t)$ introduites en (V-9) et (V-22) sont proportionnelles à des commutateurs divisés par β dont la limite claire est proportionnelle à un crochot de Poisson ne renseignant pas à (VI-2).
- Il existe cependant une autre fonction, introduite plus haut, dont la limite claire coincide avec VI-2 : c'est la "fonction de corrélation canonique" :

$$\tilde{K}_{BA}(t) = \langle A; B(t) \rangle = \frac{1}{\beta} \int_0^\beta d\lambda \langle e^{\lambda H} A e^{-\lambda H} B(t) \rangle_{\text{eq}} \quad (\text{VI-3})$$

En effet, à la limite claire, les différents opérateurs dans l'intégrale de (VI-3) commutent et l'on a :

$$\text{Limite claire de } \tilde{K}_{BA}(t) = \overline{A(0)B(t)} \frac{1}{\beta} \int_0^\beta d\lambda = \overline{A(0)B(t)} \quad (\text{VI-4})$$

le lien entre $\tilde{K}_{BA}(t)$ et la relaxation du système a déjà été mentionné plus haut

- On démontre aisement que toutes les relations de symétrie (V-51) à (V-56) établies pour la fonction de corrélation canonique sont également valables pour la fonction de corrélation symétrique.

b) Transformées de Fourier

- Soient $S_{BA}(\omega)$ et $K_{BA}(\omega)$ les T.F. de $\tilde{S}_{BA}(t)$ et $\tilde{K}_{BA}(t)$.
- De l'équation (V-49), on déduit immédiatement que :

$$K_{BA}(\omega) = \frac{2}{\beta} \frac{\tilde{S}_{BA}(\omega)}{\omega} \quad (\text{VI-5})$$

- Par ailleurs, on a

$$\langle B(t)A \rangle_{n,\text{eq}} = \sum_{nq} \Pi_n B_{nq} A_{qn} e^{-i\omega_{qn} t} \quad (\text{VI-6})$$

$$\langle A B(t) \rangle_{n,\text{eq}} = \sum_{nq} \Pi_q A_{qn} B_{nq} e^{-i\omega_{qn} t}$$

En prenant la T.F. de la somme de ces 2 expressions, on obtient aisément :

$$S_{BA}(\omega) = \pi \sum_{nq} (\Pi_n + \Pi_q) B_{nq} A_{qn} \delta(\omega_{qn} - \omega) \quad (\text{VI-7})$$

Comparons alors (VI-7) à l'expression (V-18) de $\tilde{E}_{BA}(\omega)$. Comme

$$\Pi_n + \Pi_q = (\Pi_n - \Pi_q) \frac{\Pi_n + \Pi_q}{\Pi_n - \Pi_q} = (\Pi_n - \Pi_q) \frac{1 + e^{-\beta(E_q - E_n)}}{1 - e^{-\beta(E_q - E_n)}} \quad (VI-8)$$

et que, d'après la fonction $\delta(\omega_{qn} - \omega)$ figurant aussi bien dans (VI-7) que dans (V-18), $E_q - E_n = \hbar \omega$, il vient :

$$S_{BA}(\omega) = \hbar \frac{1 + e^{-\beta \hbar \omega}}{1 - e^{-\beta \hbar \omega}} \xi_{BA}(\omega) = \hbar \coth \frac{\beta \hbar \omega}{2} \xi_{BA}(\omega) \quad (VI-9)$$

- On vérifie aisément qu'à la limite claire, c.-à-d pour $\beta \hbar \omega \ll 1$, on a :

$$S_{BA}(\omega) \approx \hbar \frac{2}{\beta \hbar \omega} \xi_{BA}(\omega) = \frac{2}{\beta \omega} \xi_{BA}(\omega) = K_{BA}(\omega) \quad (VI-10)$$

c.-à-d que les 2 fonctions de corrélation tendent l'une vers l'autre.

- le tableau suivant rassemble les principaux résultats obtenus dans ce paragraphe.

Espace des t Espace des ω

<u>Fonction spectrale</u> (Dissipation)	$\tilde{\xi}_{BA}(t) = \frac{1}{2\hbar} \langle [B(t), A] \rangle_{eq}$ $= \frac{\beta}{2i} \tilde{K}_{BA}(t)$	$\xi_{BA}(\omega) =$ $\frac{\pi}{\hbar} \sum_{n,q} (\Pi_n - \Pi_q) B_{nq} A_{qn} \delta(\omega_{qn} - \omega)$
<u>Fonction de réponse</u> (Réponse percussionnelle Susceptibilité)	$\tilde{\chi}_{BA}(t) = 2i \theta(t) \tilde{\xi}_{BA}(t)$ $= \beta \theta(t) \tilde{K}_{BA}(t)$	$\chi_{BA}(\omega) = \frac{1}{\pi} \lim_{\epsilon \rightarrow 0_+} \int d\omega' \frac{\xi_{BA}(\omega')}{\omega' - \omega - i\epsilon}$
<u>Fonction de corrélation</u> <u>symétrique</u> (Dynamique des fluctuations)	$\tilde{S}_{BA}(t) = \frac{1}{2} \langle \{B(t), A\}_+ \rangle_{eq}$	$S_{BA}(\omega) = \hbar \coth \frac{\beta \hbar \omega}{2} \xi_{BA}(\omega)$
<u>Fonction de corrélation</u> <u>canonique</u> (Relaxation pour $t > 0$)	$\tilde{K}_{BA}(t) = \langle A; B(t) \rangle$ $= \frac{1}{\beta} \int_0^\beta d\lambda \langle e^{\lambda H} A e^{-\lambda H} B(t) \rangle_{eq}$	$K_{BA}(\omega) = \frac{2}{\beta \omega} \xi_{BA}(\omega)$

Tableau récapitulatif

Dans le § B suivant, nous passerons en revue quelques applications importantes de la théorie de la réponse linéaire

B - Etude de quelques applications

① Démonstration du (premier) théorème fluctuation-dissipation

Nous pouvons maintenant donner une base rigoureuse au théorème fluctuation-dissipation sans le faire repasser, comme nous l'avons fait plus haut, sur une équation phénoménologique.

a) Etude générale

- Il apparaît clairement sur le tableau I que les T.F. des fonctions de corrélation, aussi bien symétrique que canonique, s'expriment seulement en fonction de la fonction spectrale $\xi_{BA}(\omega)$.

En particulier si $B = A$ (avec $B = B^+$ et $A = A^+$), on a d'après (V-29) et (VI-5) :

$$\mathcal{K}_{AA}(\omega) = \frac{e}{\beta\omega} \xi_{AA}(\omega) = \frac{e}{\beta\omega} \operatorname{Im} \chi_{AA}(\omega) \quad (\text{VI-10})$$

ce qui l'on peut encore écrire

$$\boxed{\operatorname{Im} \chi_{AA}(\omega) = \frac{1}{2kT} \int_{-\infty}^{+\infty} \omega \langle A; A(t) \rangle e^{i\omega t} dt} \quad (\text{VI-11})$$

Si l'on connaît la dissipation d'énergie du système perturbé par A , on connaît donc aussi la dynamique des fluctuations de A dans l'état d'équilibre.

- Plus généralement, on peut relier la susceptibilité complexe $\chi_{BA}(\omega)$ [et non pas seulement la partie imaginaire de $\chi_{AA}(\omega)$] à une certaine fonction de corrélation. En effet, d'après (V-59), on a :

$$\chi_{BA}(t) = \frac{1}{kT} \Theta(t) \tilde{\chi}_{BA}(t) \quad (\text{VI-12})$$

ce qui donne, par transformation de Fourier :

$$\boxed{\chi_{BA}(\omega) = \frac{1}{kT} \int_0^\infty \langle \dot{A}; B(t) \rangle e^{i\omega t} dt} \quad (\text{VI-13})$$

égalité qui porte le nom de 1^{er} théorème fluctuation-dissipation

- Insistons bien sur le fait que les 2 expressions (VI-11) et (VI-13) sont exactes, et notamment en particulier les effets quantiques. La forme de ces équations est particulièrement simple lorsqu'on utilise la fonction de corrélation canonique ; elle serait légèrement plus compliquée si l'on utilisait la fonction de corrélation symétrique.

b) Applications au mouvement Brownien.

i) Hamiltonien H du système

$$H = \frac{1}{2M} \vec{P}^2 + \sum_x \frac{1}{2m} \vec{P}_x^2 + \sum_{\alpha \neq \beta} U(|\vec{r}_\alpha - \vec{r}_\beta|) + \sum_\alpha U(|\vec{R} - \vec{r}_\alpha|) \quad (\text{VI-14})$$

\vec{P} , \vec{R} , M : impulsions, positions, masse de la particule Brownienne
 \vec{P}_x , \vec{r}_x , m : " " " de la x ^e molécule du fluide

On a supposé que que les diverses particules interagissaient par des potentiels U ou T ne dépendant que de la distance.

- Nous aurons aussi besoin plus loin de l'expression de χ qui d'après (V-57) s'écrit :

$$\dot{x} = \frac{1}{i\hbar} [X, H] = \frac{1}{i\hbar} [X, \frac{1}{2M} \vec{P}^2] = \frac{1}{M} P_x = V_x \quad (\text{VI-15}) \quad \boxed{\text{VI-4}}$$

ii) A quoi correspondent ici l'entrée et la sortie ?

- On applique par exemple une force $f(t)$ parallèle à Ox sur la particule et on observe la composante V_x de la vitesse qu'elle augmente.

Entrée : perturbation $W(t) = -f(t)X$ Donc $A = X$

Sortie : observation de $\langle V_x \rangle$ Donc $B = V_x$

(Nous noterons V au lieu de V_x pour simplifier quand il n'y a pas de confusion possible).

- D'où les fonctions

$\tilde{X}_{VX}(t)$, $X_{VX}(\omega)$ admittance [appelée $X(w)$ dans le cours II]

$\tilde{\xi}_{VX}(t)$, $\xi_{VX}(\omega) \dots$

iii) Expression du 1^{er} théorème fluctuation-dissipation.

- Comme, d'après (VI-15), $\dot{x} = V$, l'équation (VI-13) devient ici :

$$X_{VX}(\omega) = \frac{1}{kT} \int_0^\infty \langle V; V(t) \rangle e^{i\omega t} dt \quad (\text{VI-16})$$

- La théorie de la réponse linéaire nous indique donc quelle est l'équation exacte et quantique qui correspond à l'équation (II-49) du chapitre II, obtenue à partir d'une équation phénoménologique classique (résolue de plus à la limite $T_c \ll T_R$). L'équation (VI-16) permet de calculer l'admittance ou susceptibilité complexe $X_{VX}(\omega)$ si l'on connaît la fonction d'autocorrelation canonique de V et réciproquement.

c) Autre application : démonstration du théorème de Nyquist.

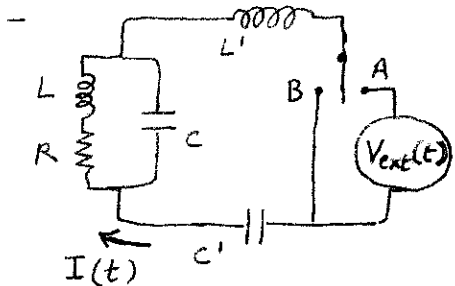


Fig. 1

Considérons un circuit électrique passif, aussi compliqué que l'on veut, fermé sur lui-même (interrupteur en position B) ou branché sur une source de tension extérieure $V_{ext}(t)$ (interrupteur en position A), en équilibre thermodynamique à la température T . Il est parcouru par un courant $I(t)$ de valeur moyenne $\bar{I}(t)$.

- Supposons d'abord l'interrupteur en A.

On peut calculer $\bar{I}(t)$ par la théorie de la réponse linéaire (on considérera uniquement la limite classique). La tension $V(t)$ est couplée à la charge Q qui traverse le générateur. On a donc pour "entrée" $A = Q$. On observe le courant moyen $\bar{I}(t)$. Donc on a pour "sortie" $B = I$.

La "réponse" est calculable à partir de l'admittance $X_{IQ}(\omega)$

$$X_{IQ}(\omega) = \frac{1}{Z(\omega)} \quad (\text{VI-17})$$

qui n'est autre que l'inverse de l'impédance $Z(\omega)$ du circuit.

- Mettons maintenant l'interrupteur en B. Le circuit est alors isolé et en équilibre. $I(t)$ fluctue autour de sa valeur

moyenne qui est maintenant nulle.

- Le théorème fluctuatoires - simplifications (VI-13) permet alors le relai $X_{IQ}(\omega)$, c.-à-d l'inverse de l'impédance du circuit, aux fluctuations de courant existant dans le circuit isolé et à l'équilibre. Comme $\dot{\phi} = I$, on a en effet d'après (VI-13) (en posant $A = Q$ $B = I$) :

$$X_{IQ}(\omega) = \frac{1}{Z(\omega)} = \frac{1}{kT} \int_0^\infty \overline{(I(0) I(t))}_{eq} e^{i\omega t} dt \quad (VI-18)$$

Comme $\overline{(I(0) I(t))}_{eq}$ est une fonction paire de t [c'est une fonction d'autocorrélation], on obtient aisément en ajoutant à (VI-18) l'équation complexe conjuguée :

$$\operatorname{Re} \frac{1}{Z(\omega)} = \frac{R(\omega)}{|Z(\omega)|^2} = \frac{1}{2kT} \int_{-\infty}^{+\infty} \overline{(I(0) I(t))}_{eq} e^{i\omega t} dt \quad (VI-19)$$

où $R(\omega)$ est la partie réelle de $Z(\omega)$ (partie résistive).

- On peut finalement calculer la tension fluctuante $V(t)$ équivalente qui donnerait naissance dans le circuit à l'intensité fluctuante $I(t)$ dont l'expression (VI-19) donne la T.F. de la fonction de corrélation, c.-à-d la densité spectrale. Comme on passe de V (entrée) à I (sortie), par un filtrage linéaire de gain $|Z(\omega)|^{-2}$, on a d'après les résultats de la page (II-7)

$$\int_{-\infty}^{+\infty} \overline{(I(0) I(t))}_{eq} e^{i\omega t} dt = \frac{1}{|Z(\omega)|^2} \int_{-\infty}^{+\infty} \overline{(V(0) V(t))}_{eq} e^{i\omega t} dt \quad (VI-20)$$

En comparant (VI-19) à (VI-20) on obtient finalement :

$$\frac{1}{\pi} kT R(\omega) = \frac{1}{2\pi} \int_{-\infty}^{+\infty} \overline{(V(0) V(t))}_{eq} e^{i\omega t} dt \quad (VI-21)$$

C'est le théorème de Nyquist qui relie la partie réelle de l'impédance du circuit, $R(\omega)$, à la T.F. de la fonction de corrélation des fluctuations de voltage décrivant les fluctuations de courant parcourant le circuit isolé et en équilibre.

② Utilisation des symétries du problème.

Les symétries du problème permettent d'obtenir un certain nombre de relations intéressantes.

Comme toutes les fonctions étudiées en A se déduisent les unes des autres, il suffit d'étudier les symétries de la fonction spectrale $\tilde{\xi}_{BA}(t)$.

a) Relations générales découlant de la définition même de la fonction spectrale et de la stationnarité

(i) De la relation $[x, y] = -[y, x]$ et de la stationnarité, on déduit :

$$\frac{1}{2\hbar} \langle [B(t), A] \rangle_{eq} = -\frac{1}{2\hbar} \langle [A, B(t)] \rangle_{eq} = -\frac{1}{2\hbar} \langle [A(-t), B] \rangle_{eq} \quad (VI-22)$$

d'où l'on tire

$$\tilde{\xi}_{BA}(t) = -\tilde{\xi}_{AB}(-t) \quad \tilde{\xi}_{BA}(\omega) = -\tilde{\xi}_{AB}(-\omega) \quad (VI-23)$$

(ii) De la relation

$$\frac{1}{2\hbar} \langle [B(t), A] \rangle_{eq}^* = \frac{1}{2\hbar} \langle [A^+, B^+(t)] \rangle_{eq} = -\frac{1}{2\hbar} \langle [B^+(t), A^+] \rangle_{eq} \quad (VI-24)$$

on tire

$$\tilde{\xi}_{BA}^*(t) = -\tilde{\xi}_{B+A}^*(t) \quad \xi_{BA}^*(\omega) = -\xi_{B+A}^*(-\omega) \quad (VI-25) \quad \boxed{VI-6}$$

(iii) Si $A = A^+$ et $B = B^+$, ce que nous supposons désormais, on obtient :

$$\tilde{\xi}_{BA}^*(t) = -\tilde{\xi}_{BA}(t) \quad \xi_{BA}^*(\omega) = -\xi_{BA}(-\omega) = \xi_{AB}(\omega) \quad (VI-26)$$

b) Un exemple très simple d'utilisation des symétries spatiales : Justification du modèle à 1 dimension du mouvement Brownien.

(i) Montrons tout d'abord que $\tilde{\xi}_{Vyx} = 0$ (on applique une force le long de Ox et on observe Vy).

L'idée est d'utiliser une opération de symétrie qui laisse H , et par suite P_{eq} , invariants, tout en transformant Vy et X de manière différente, par exemple la réflexion δ par rapport au plan xOz :

$$\delta H \delta^+ = H \quad \delta P_{eq} \delta^+ = P_{eq} \quad \delta V_y \delta^+ = -V_y \quad \delta X \delta^+ = X \quad (VI-27)$$

Calculons alors $\langle V_y(t) X \rangle_{eq} = \text{Tr } P_{eq} V_y(t) X$

$$\begin{aligned} \text{Tr}_{P_{eq}} V_y(t) X &= \sum_n \langle \varphi_n | P_{eq} V_y(t) X | \varphi_n \rangle = \sum_n \underbrace{\langle \varphi_n | \delta^+ \delta P_{eq} \delta^+ \delta V_y(t) \delta^+ \delta X \delta^+ | \varphi_n \rangle}_{\langle \delta \varphi_n | P_{eq} -V_y(t) X | \delta \varphi_n \rangle} = \\ &= - \sum_n \langle \delta \varphi_n | P_{eq} V_y(t) X | \delta \varphi_n \rangle \end{aligned} \quad (VI-28)$$

Comme les $|\delta \varphi_n\rangle$ forment une base orthonormée (δ est unitaire), on a

$$\langle V_y(t) X \rangle_{eq} = - \langle V_y(t) X \rangle_{eq} = 0 \quad (VI-29)$$

et par suite

$$\tilde{\xi}_{Vyx}(t) = -\tilde{\xi}_{Vxy}(t) = 0 \quad (VI-30)$$

De manière analogue, on démontre que seuls $\tilde{\xi}_{Vzx}$, $\tilde{\xi}_{Vyy}$, $\tilde{\xi}_{Vzz}$ sont non nuls.

(ii) L'invariance par rotations permet ensuite de montrer que ces 3 fonctions sont égales. Remontant aux fonctions de corrélation grâce à (VI-16), on démontre également que toutes les corrélations croisées entre composantes différentes de V sont nulles ...

On peut donc en conclusion remplacer le problème du mouvement Brownien à 3 dimensions par 3 problèmes identiques à 1 dimension.

c) Une symétrie très générale : le renversement du temps

- Dans les situations compliquées où aucune symétrie spatiale n'existe, il subsiste cependant en général une symétrie intéressante : l'invariance de H par renversement du sens du temps.

- Une telle opération de symétrie est décrite par un opérateur antiunitaire \mathcal{C} . Le caractère antilineaire de \mathcal{C} exige certaines précautions réservées ci-dessous.

$$(i) \text{ si } c \text{ constante } \mathcal{C}c \mathcal{C}^+ = c^* \quad (VI-31)$$

(ii) $\langle X | \mathcal{C} | \varphi \rangle$ n'a pas de sens. Il faut indiquer si \mathcal{C} agit sur le ket ou le bra et l'on a

$$\langle X | (\mathcal{C} | \varphi \rangle) = (\langle X | \mathcal{C}) | \varphi \rangle^* \quad (VI-32)$$

Pas contre, \mathcal{C} était unitaire

$$\text{si } \{ |\varphi_n \rangle \} \text{ base L alors } \{ | \mathcal{C} \varphi_n \rangle \} \text{ est aussi une base} \quad (VI-33)$$

- Signature ϵ_A d'un opérateur A .

De très nombreux opérateurs A se transforment très simplement sous l'effet de \mathcal{C} :

$$\mathcal{C} A \mathcal{C}^+ = \epsilon_A A \quad \text{avec } \epsilon_A = +1 \text{ ou } -1 \quad (\text{VI-34}) \quad \boxed{\text{VI-7}}$$

Par exemple \mathcal{C} ne change pas les positions mais renverse les vitesses

$$\mathcal{C} X \mathcal{C}^+ = X \quad \mathcal{C} V \mathcal{C}^+ = -V \quad (\text{VI-35})$$

- De (VI-34) et (VI-31) on déduit que si $\mathcal{C} H \mathcal{C}^+ = H$

$$\mathcal{C} A(t) \mathcal{C}^+ = \mathcal{C} e^{iHt} \mathcal{C}^+ \mathcal{C} A \mathcal{C}^+ \mathcal{C} e^{-iHt} \mathcal{C}^+ = e^{-iHt} \epsilon_A A e^{iHt} = \epsilon_A A(-t) \quad (\text{VI-36})$$

- En présence d'un champ magnétique statique \vec{B}_0 , considéré comme un champ extérieur appliqué, H n'est plus invariant par renversement du temps. \vec{B}_0 est couplé à des grandeurs de signature $-i$ (comme les moments magnétiques), de sorte que le transformé de H par \mathcal{C} correspond à l'hamiltonien du même système dans le champ $-\vec{B}_0$

$$\mathcal{C} H(\vec{B}_0) \mathcal{C}^+ = H(-\vec{B}_0) \quad (\text{VI-37})$$

d) Conséquences de l'invariance par renversement du temps : Relations de réciprocité (relations d'Onsager).

- Il semble intéressant d'essayer de relier $\xi_{BA}(t)$, c.-à-d la réponse de B à une excitation sur A à $\xi_{AB}(-t)$, c.-à-d la réponse de A à une excitation sur B (exemple concret : une contrainte appliquée sur un cristal piezoelectrique fait apparaître une charge ; on peut aussi appliquer une charge et provoquer une modification d'épaisseur. Peut-on relier les coefficients de ces 2 effets ?)

- Si l'on se reporte aux relations générales établies en a, on voit qu'elles ne relient $\xi_{BA}(t)$ qu'à $\xi_{AB}(-t)$. Pour répondre à la question que nous venons de poser, il faut pouvoir changer le signe de t dans $\xi_{AB}(-t)$ ce qui montre la nécessité de faire intervenir \mathcal{C} . Ceci se comprend d'ailleurs bien physiquement : les relations éventuelles entre processus $A \rightarrow B$ et $B \rightarrow A$ doivent témoigner de la microinversibilité.

- Supposons donc H , et par suite p_{eq} , invariants par \mathcal{C} .

$$\mathcal{C} H \mathcal{C}^+ = H \quad \mathcal{C} p_{eq} \mathcal{C}^+ = p_{eq} \quad (\text{VI-38})$$

et transformons l'expression de $\langle B(t)A \rangle_{eq}$ comme dans le § b ci-dessus

$$\begin{aligned} \langle B(t)A \rangle_{eq} &= \sum_n \langle \varphi_n | p_{eq} B(t) A | \varphi_n \rangle = \sum_n \langle \varphi_n | (\mathcal{C}^+ \mathcal{C} p_{eq} \mathcal{C}^+ \mathcal{C} B(t) \mathcal{C}^+ \mathcal{C} A \mathcal{C}^+ \mathcal{C} | \varphi_n \rangle) \\ &= \epsilon_A \epsilon_B \sum_n \langle \varphi_n | (\mathcal{C}^+ p_{eq} B(-t) A | \mathcal{C} \varphi_n \rangle) \quad p_{eq} \quad \mathcal{C} B(-t) \quad \mathcal{C} A \quad \mathcal{C} \varphi_n \\ &= \epsilon_A \epsilon_B \sum_n \langle \mathcal{C} \varphi_n | p_{eq} B(-t) A | \mathcal{C} \varphi_n \rangle^* = \epsilon_A \epsilon_B (\text{Tr } p_{eq} B(-t) A)^* = \epsilon_A \epsilon_B \langle AB(-t) \rangle_{eq} \\ &\quad = \epsilon_A \epsilon_B \langle A(t) B \rangle_{eq} \quad (\text{VI-39}) \end{aligned}$$

On a supposé $A = A^+$ $B = B^+$ et utilisé la stationnarité ainsi que (VI-38), (VI-31), (VI-32), (VI-34) et (VI-36). On démontre de même que $\langle A B(t) \rangle_{eq} = \epsilon_A \epsilon_B \langle B A(t) \rangle_{eq}$. On en déduit les relations de reciprocité :

$$\boxed{\xi_{BA}(t) = \epsilon_A \epsilon_B \xi_{AB}(t) \quad \xi_{BA}(\omega) = \epsilon_A \epsilon_B \xi_{AB}(\omega)} \quad (\text{VI-40})$$

De (VI-3), on déduit aussi

$$\tilde{\chi}_{BA}(t) = \epsilon_A \epsilon_B \tilde{\chi}_{AB}(t) \quad (\text{VI-41})$$

- les relations (VI-40) se généralisent aisément, grâce à (VI-37), au cas où il y a un champ magnétique statique \vec{B}_0

$$\xi_{BA}(\omega, \vec{B}_0) = \epsilon_A \epsilon_B \xi_{AB}(\omega, -\vec{B}_0) \quad (\text{VI-42})$$

- Application au mouvement Brownien (établissement de relations utiles pour le § suivant)

- De (VI-35) et (VI-40) on déduit aisément :

$$\xi_{VX}(\omega) = -\xi_{XV}(\omega) \quad (VI-43)$$

Jointe à (VI-26), la relation (VI-43) montre que $\xi_{VX}(\omega)$ est imaginaire pur.

- Montrons maintenant que l'on peut exprimer $\xi_{VX}(\omega)$ en fonction de $X_{VX}(\omega)$ très simplement. De (VI-41) on déduit aisément (avec $B=V$, $A=X$) :

$$X_{VX}(\omega) = -X_{XV}(\omega) \quad (VI-44)$$

On déduit alors immédiatement de (VI-28) que

$$\xi_{VX}(\omega) = \frac{1}{2i} [X_{VX}(\omega) - X_{XV}^*(\omega)] = \frac{1}{2i} [X_{VX}(\omega) + X_{XV}^*(\omega)] = -i \operatorname{Re} X_{VX}(\omega) \quad (VI-45)$$

- Enfin, bien qu'une telle relation n'ait rien à voir avec \mathcal{C} , essayons de relier $\xi_{VX}(\omega)$ à $\xi_{XX}(\omega)$. Comme $\xi_{VX}(t) = \frac{1}{2k} \frac{d}{dt} \langle [X(t), X] \rangle_{eq} = \frac{1}{2k} \frac{d}{dt} \xi_{XX}(t)$, on obtient par TF

$$\xi_{XV}(\omega) = -i\omega \xi_{XX}(\omega) \quad (VI-46)$$

③ Etude sur l'exemple simple du mouvement Brownien, du comportement aux temps t très longs ou aux fréquences ω très basses.

a) Les prévisions du modèle de Langevin pour $\omega \rightarrow 0$

- A partir de l'équation de Langevin écrite pour $\bar{v}(t)$ en présence de $F_{ext}(t)$

$$\frac{d}{dt} \bar{v}(t) = -\gamma \bar{v}(t) + \frac{1}{m} F_{ext}(t) \quad (VI-47)$$

on obtient aisément la valeur phénoménologique suivante pour la susceptibilité $X_{VX}(\omega)$

$$X_{VX}(\omega) = \frac{1}{m} \frac{1}{-i\omega + \gamma} \quad (VI-48)$$

- On déduit alors immédiatement de (VI-45) que

$$\xi_{VX}(\omega) = -\frac{i}{m} \frac{\gamma}{\gamma^2 + \omega^2} \quad (VI-49)$$

et que par suite

$$\xi_{VX}(0) = -\frac{i}{\gamma m} \neq 0 \quad (VI-50)$$

- Un tel résultat est en contradiction avec l'expression (VI-18) de $\xi_{AB}(\omega)$. En effet, un vrai système physique, fini, est toujours enfermé dans un récipient et a, par suite de ces conditions aux limites bien définies, un spectre discret. $\xi_{BA}(\omega)$ est donc une suite de fonctions δ centrées sur les diverses fréquences de Bohr ($E_n - E_q$) du système avec des coefficients proportionnels à $\langle T_n - T_q \rangle$. Comme $\langle T_n - T_q \rangle = 0$ si $E_n - E_q$ le coefficient de $\delta(0)$ est nul et $\xi_{BA}(0) = 0$.

Le fait que le modèle de Langevin conduise à un résultat différent (VI-50) est donc lié à ce que, dans ce modèle, on n'impose aucune contrainte au déplacement de la particule dans l'espace.

b) Amélioration possible du modèle.

- Un moyen, très simple mathématiquement, de "simuler" un confinement de la particule, consiste à ajouter à l'équation de Langevin (VI-47) un terme de force de rappel, $-\omega_0^2 x$, quitte à prendre ω_0 très petit devant γ. On obtient alors l'équation

$$\frac{d^2}{dt^2} \bar{x}(t) = -\gamma \frac{d}{dt} \bar{x}(t) - \omega_0^2 \bar{x}(t) + \frac{1}{m} F_{ext}(t) \quad (VI-51)$$

- La susceptibilité $X_{XX}(\omega)$ [on exerce avec une force parallèle à Ox et on observe $\langle x \rangle$], se calcule alors immédiatement à partir de (VI-51)

$$X_{XX}(\omega) = \frac{1}{m} \frac{1}{\omega_0^2 - \omega^2 - i\gamma\omega} \quad (VI-52)$$

Comme $x = x^+$, la fonction spectrale $\xi_{XX}(\omega)$ est d'après (VI-29) la partie imaginaire de $X_{XX}(\omega)$.

$$\xi_{xx}(\omega) = \frac{1}{m} \frac{\omega_0^2}{(\omega_0^2 - \omega^2)^2 + \gamma^2 \omega^2} \quad (VI-53)$$

La relation (VI-46) permet enfin de calculer $\xi_{vx}(\omega)$ en fonction de $\xi_{xx}(\omega)$

$$\xi_{vx}(\omega) = -i\omega \xi_{xx}(\omega) = -\frac{i}{m} \frac{\gamma \omega^2}{(\omega_0^2 - \omega^2)^2 + \gamma^2 \omega^2} \quad (VI-54)$$

- la comparaison entre les 2 expressions phénoménologique (VI-49) et (VI-54) de $\xi_{vx}(\omega)$ est faite sur la figure 2 (on nous avons supposé $\omega_0 \ll \gamma$)

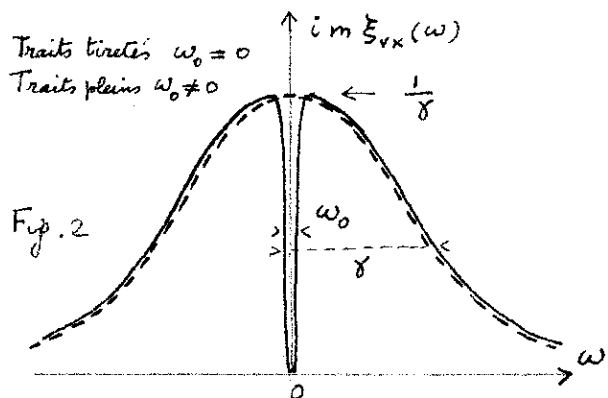


Fig. 2

On voit que les 2 courbes correspondantes coïncident pratiquement, sauf au voisinage de l'origine sur un intervalle de largeur ω_0 . En présence d'une force de rappel, aussi petite soit-elle, on a

$$\xi_{vx}(0) = 0 \quad (VI-55)$$

Puis, quand ω croît à partir de 0, la courbe correspondant à (VI-54) croît très vite pour atteindre la valeur correspondant à (VI-49) sur un intervalle de largeur ω_0 .

La difficulté correspondant à (VI-50) est donc résolue, mais la nouvelle fonction $\xi_{vx}(\omega)$

obtenue en (VI-54) n'est pas suffisante d'une sorte discrète de fonctions δ . Ceci au moins sur lui au fait que le confinement simule par la force de rappel n'est pas assez restreint.

Nous allons voir cependant, en analysant le rôle de la durée de l'expérience, qui un tel défaut n'est absolument pas évident.

c) Importance de la durée de l'expérience

- Voyons tout d'abord dans quel type d'expérience on est sensible à une grandeur "statique" comme la susceptibilité statique $X_{vx}(0)$. D'après la discussion du § A 3 à page V 7, on peut par exemple mesurer la vitesse limite atteinte par la particule Brownienne lorsqu'on lui applique progressivement une force variant lentement de 0 à F en un temps $1/\varepsilon$ suffisamment long.

En particulier, la vitesse atteinte au bout de temps d'applications de la force F , $\langle V(0) \rangle_{\text{eq}}$, et d'après (V-38) donnée par

$$\frac{\langle V(0) \rangle_{\text{eq}}}{F} = \frac{1}{\pi} \int dw \frac{\xi_{vx}(w)}{w - i\varepsilon} \quad (VI-56)$$

Il ne faut pas perdre de vue que, dans (VI-56), ε n'est pas un artifice mathématique, mais a un sens physique bien précis : c'est l'inverse de la durée de l'expérience.

- Voyons maintenant ce que l'on obtient en reportant dans (VI-56) l'une ou l'autre des 2 expressions (VI-49) ou (VI-54) de $\xi_{vx}(\omega)$.

$$\text{Comme } \frac{1}{\pi} \frac{1}{w - i\varepsilon} = \frac{1}{\pi} \frac{w}{w^2 + \varepsilon^2} + \frac{i}{\pi} \frac{\varepsilon}{w^2 + \varepsilon^2} \quad (VI-57)$$

et que $\xi_{vx}(\omega)$ est une fonction paire de ω , seul le dernier terme de (VI-57) intervient. Il faut donc, d'après (VI-56), intégrer sur ω le produit de $\xi_{vx}(\omega)$ par la fonction $\frac{i}{\pi} \frac{\varepsilon}{w^2 + \varepsilon^2}$, centrée en $w=0$, de largeur ε et d'aire totale égale à 1.

Dans ces limites sont alors à distinguer :

(i) $w_0 \ll E \ll \gamma$

La fonction $E/\Pi(w^2 + \epsilon^2)$ a une largeur beaucoup plus grande que celle du "trou" apparaissant sur (VI-54) au voisinage de 0, mais beaucoup plus petite que la largeur γ des 2 courbes. On obtient alors le même résultat que l'on part de (VI-49) ou (VI-54)

$$\frac{\langle V(t) \rangle_{\text{rec}}}{F} = \frac{1}{m\gamma} \quad (\text{VI-58})$$

Physiquement, la force est appliquée un temps E^{-1} suffisamment long devant γ^{-1} pour que une vitesse limite soit atteinte, mais suffisamment court pour devant w_0^{-1} pour que la force de rappel n'ait pu encore se faire sentir (par suite d'un déplacement insuffisant de la particule).

(ii) $E \ll \gamma$

Dans ce cas, le dernier terme de (VI-57) se comporte comme une vraie fonction $\delta(w)$ et on obtient $1/m\gamma$ pour le 1^{er} cas, 0 pour le 2^{em}.

La durée de l'expérience est alors si longue, que la particule s'est écartée de l'origine suffisamment pour que la force de rappel compense exactement la force appliquée (plus précisément, la particule est allée se coller sur les parois du récipient).

En conclusion, si l'on n'est pas intéressé par les "effets de bord", il ne faut pas que la durée de l'expérience soit trop longue et, dans ce cas, les 2 expressions (VI-49) et (VI-54) sont équivalentes.

Par ailleurs, pour un système macroscopique, la distance η entre les deuxes fonctions $\delta(w - w_{0q})$ constituant la vraie fonction spectrale $\mathbb{E}_{BA}(w)$ est désormais petite devant l'inverse E de n'importe quelle durée raisonnable pour une expérience, de sorte qu'il est tout à fait illusoire d'essayer d'observer cette structure de $\mathbb{E}_{BA}(w)$ et les effets récurrents correspondants. Le E qui apparaît dans les formules est donc très grand devant η et on peut donc remplacer la vraie fonction $\mathbb{E}_{BA}(w)$ par une "fonction moyennée" sur un intervalle E autour de chaque valeur de w et qui acquiert de ce fait un aspect continu ("time-smoothing").

Mentionnons enfin une raison fondamentale pour ne pas prendre des temps d'expérience trop longs si l'on veut utiliser la théorie de la réponse linéaire pour effectuer les prévisions physiques. Le valeur perturbatif de $\langle B(t) \rangle_{\text{rec}}$ ne seront alors plus valable. Par exemple l'excitation - alt A aurait faible soit-elle, finirait par "changer" le système !